

## تأثیر حالت‌های مختلف ناخالصی هیدروژن بر خواص الکترونی و ساختاری اکسیدروی

بوستان افروز فهیمه<sup>۱</sup>; جعفر تفرشی، مجید<sup>۱</sup>; محمدی زاده، محمدرضا<sup>۲</sup>; فضلی، مصطفی<sup>۳</sup>

<sup>۱</sup>آزمایشگاه پژوهشی رشد بلور، دانشکده فیزیک دانشگاه سمنان، سمنان

<sup>۲</sup>آزمایشگاه پژوهشی ابرسانایی، دانشکده فیزیک دانشگاه تهران، انتهاي خیابان کارگر شمالی، تهران

<sup>۳</sup>دانشکده شیمی، دانشگاه سمنان، سمنان

### چکیده

تأثیر حالت‌های مختلف ناخالصی هیدروژن بین جایگاهی ( $H_i$ )، در جایگاه اکسیژن ( $H_0$ ) و  $H_0+H_i$  بر خواص ساختاری و الکترونی اکسیدروی، در غلظت‌های مختلف ۰/۰۲۰، ۰/۰۶۲۵ و  $nH/nZn$  با استفاده از نظریه تابعی چگالی (GGA+U) بررسی گردید. محاسبات نشان دادند که  $H_0$  پایدارترین حالت بوده و بیشترین تأثیر را در همهٔ غلظت‌ها در افزایش شکاف نواری دارد. بر اساس آنالیز بادر (Bader) در حالت آلایش  $ZnO$  با  $H_0$  یون  $H$  در تهی جای اکسیژن،  $V_O^{+2}$  قرار گرفته و در حالت ترکیب  $H_0+H_i$  یک مولکول  $H_2$  در  $V_O^{+2}$  گیرمی‌افتد. بنابراین به نظر می‌رسد ترکیب  $H_0+H_i$  مدل مناسبی برای اکسیدروی آلایله با مولکول  $H_2$  در دماهای بالا باشد. درنهایت می‌توان نتیجه گرفت  $H_0$  منع اصلی رسانندگی نوع  $n$  بوده و  $H_i$  نقش بر جسته‌ای در رسانندگی ندارد. رشد نمونه‌های آلایله با هیدروژن در اتمسفر باون اکسیژن، منجر به تهی نمونه‌های بهتری برای بکارگیری اکسیدهای هادی شفاف خواهد شد.

## Effect of different hydrogen dopant states on electronic and structural properties of ZnO

Bustan Afruz, Fahime<sup>1</sup>; Jafar Tafreshi, Majid<sup>1</sup>; Mohammadizadeh, Mohammad Reza<sup>2</sup>; Fazli, Mostafa<sup>3</sup>

<sup>1</sup>Crystal Growth Research Laboratory, Department of Physics, University of Semnan, Semnan

<sup>2</sup>Super Conductivity Research Laboratory (SRL), Department of Physics, University of Tehran, Tehran,

<sup>3</sup>Department of Chemistry, University of Semnan, Semnan

### Abstract

The effect of different states including, interstitial and substitutional (for oxygen) position ( $H_i$ ,  $H_0$ ) and  $H_0+H_i$  complex on structural and electronic properties of hydrogen doped  $ZnO$  for 0.020, 0.0625 and 0.125  $nH/nZn$  concentrations has been studied using density functional theory (GGA+U) calculations. Results have been compared with other available experimental data for these defects. Calculations show that  $H_0$  is the most stable states and it has the most effect on increase band gap of  $ZnO$  in all concentrations. Based on Bader analysis  $H$  ion locates at  $V_O^{+2}$  in  $H_0$  state and  $H_0+H_i$  state is a  $H_2$  molecule trapped in  $V_O^{+2}$ . So, it seems that  $H_0+H_i$  complex is an appropriate model for  $H_2$  molecule doped at high temperature. Finally, it can result that  $H_0$  is robust source for n-type conductivity while  $H_i$  has not prominent role. Growth of H-doped  $ZnO$  in oxygen poor atmosphere leads to the production of better samples for transparent conducting oxide (TCO) applications.

PACS No. 71, 15

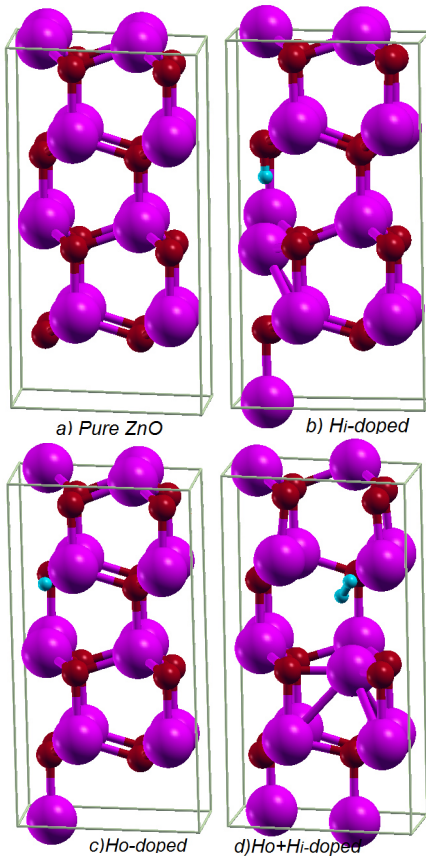
هیدروژن در اکسیدروی مقاومت الکتریکی کاهش یافته و شفافیت

آن افزایش می‌باید. آنها گزارش کردند که با افزایش غلظت هیدروژن، شکاف نواری اکسیدروی بیشتر شده و در غلظت بهینه، حدود  $10^{-20} \text{ cm}^3$  کمترین مقاومت (از مرتبه  $\Omega \cdot \text{cm}^{-4}$ ) و بیشینه-ی تحرک پذیری ( $\text{cm}^2/\text{V s}$  ۳۹) مشاهده می‌شود [۲-۴]. مقالات

مقدمه

نیمرساناهای بر پایهٔ اکسیدروی به دلیل شکاف نواری پهن (۳/۳۷ eV)، مقاومت الکتریکی پایین و شفافیت نوری تحت نور مرئی قابلیت کاربرد در اکسیدهای هادی شفاف (TCO) را دارند [۱]. مقالات مختلف تجربی مشاهده کردند که با آلایش

یافته[۱۳] با تصحیحات هبارد (GGA+U) [۱۴] انجام شد. محاسبات همگرایی انرژی قطع موج تخت ( $E_{cut}$ ),  $90\text{ Ry}$  و تعداد  $8 \times 8 \times 8$  نقاط  $k$  در منطقه بریلولئن برای سلول واحد همگرا شده است. ثابت شبکه و مکان‌های اتمی تا همگرایی انرژی کل  $\text{GPa}$   $4\text{ Ry}^{-1}$ , نیروی وارد بر هر اتم  $10^{-3}\text{ Ry/au}$  و فشار  $7\text{ eV}$  واهلش یافته و بهینه شده است. پارامتر هبارد موثر برای حالت‌های  $\text{O}-2\text{p}$  و  $10\text{ eV}$  برای حالت‌های  $\text{Zn}-3\text{d}$  با استفاده از نتایج دیگران [۱۵] درنظر گرفته شد. پارامترهای شبکه بهینه‌ی اکسیدروی خالص  $a = 3/269\text{ \AA}$  و  $c = 5/214\text{ \AA}$  به دست آمد که توافق خوبی با مقادیر تجربی ( $a = 3/207\text{ \AA}$  و  $c = 5/250\text{ \AA}$ ) دارد [۵].



شکل ۱: ساختار اتمی اکسیدروی خالص و حالات مختلف آلایش در آن (گلوله‌ای بنفش، قرمز و آبی به ترتیب اتم‌های روی، اکسیژن و هیدروژن هستند).

### محاسبات ساختاری

محاسبات برای آلایش سه حالت  $\text{H}_0$ ,  $\text{H}_i$  و  $\text{H}_0+\text{H}_i$  در اکسیدروی انجام شد. هیدروژن بین‌جاگاهی در مرکز اتصالی

نظری دو نوع هیدروژن بین‌جاگاهی ( $\text{H}_i$ ) و جایگاهی ( $\text{H}_0$ ) را برای آلایش هیدروژن در اکسیدروی پیشنهاد داده و بیان کرده‌اند که هر دوی آنها، تنها در بار +1 پایدارند و ممکن است مسئول رسانندگی نوع  $n$  در نمونه‌های اکسیدروی آلایده با هیدروژن باشند [۵ و ۶]. مطالعات تجربی وجود هر دو نوع  $\text{H}_0$  و  $\text{H}_i$  را بعد از ساخت، با استفاده از طیف‌سنجی رaman و فوتولومینسنس تایید کرده‌اند [۷]. با انجام فرایند بازپخت، در دماهای بالاتر از  $200^\circ\text{C}$   $\text{H}_i$  ناپدید می‌شود اما در دمای بالاتر از  $300^\circ\text{C}$  دوباره علائم مربوط به  $\text{H}_i$  ظاهر شده و تا دمای حدود  $750^\circ\text{C}$  قله‌های مربوط به  $\text{H}_i$  پایدارند [۸]. محققان معتقدند که در دمای بالاتر از  $300^\circ\text{C}$  به مولکول  $\text{H}_2$  تبدیل شده و همه‌ی هیدروژن‌ها در دماهای بالا به صورت  $\text{H}_0$  و  $\text{H}_2$  هستند [۷]. ویدیا و همکارانش [۹] اخیراً ترکیب  $\text{H}_0+\text{H}_i$  را درنظر گرفته‌اند که انرژی تشکیل آن از مولکول  $\text{H}_2$  در جایگاه‌های مختلف کمتر و فرکانس رaman محاسبه شده برای آن به مقدار تجربی نزدیکتر از مولکول  $\text{H}_2$  است.

بررسی مقالات نشان می‌دهد که اکثر مقالات نظری به ارائه مدل‌های مختلف آلایش هیدروژن در اکسیدروی و بررسی پایداری آنها پرداخته‌اند و مطالعه جامعی برای بررسی و مقایسه‌ی تاثیر این حالت‌های پیشنهادی در خواص ساختاری، الکترونی و نوری اکسیدروی وجود ندارد و مقایسه نتایج آنها با مشاهدات تجربی صورت نگرفته است. ما قبلاً تاثیر آلایش  $\text{H}_i$  را بر خواص الکترونی و نوری اکسیدروی با تقریب GGA گزارش کرد-ایم [۱۰]. در این مقاله اثر آلایش هر سه حالت  $\text{H}_0$ ,  $\text{H}_i$  و  $\text{H}_0+\text{H}_i$  بر خواص ساختاری، الکترونی و نوری اکسیدروی در غلظت‌های مختلف ارائه شده و با توجه به سهم بر جسته‌ی در افزایش شکاف نواری، تهیی نمونه‌های آلایده با هیدروژن در اتمسفر بدون اکسیژن، برای دستیابی به خواص الکتریکی و نوری بهتر پیشنهاد شده است. همچنین آنالیز بیدر برای بررسی بار هیدروژن در حالت‌های مختلف برای اولین بار در این ترکیب محاسبه شد.

### روش محاسباتی

محاسبات با استفاده از بسته نرم افزاری کوانتوم اسپرسو [۱۱] در چارچوب نظریه تابعی چگالی [۱۲] در تقریب گرادیان تعیین

پذیرفته، محاسبه بار برای آلایش هیدروژن در اکسیدروی تاکنون گزارش نشده است. این آنالیز، بار موثر اتم  $H_i$  را صفر می‌دهد. هیدروژن در این حالت الکترون خود را به اکسیژن داده و با آن پیوند برقرار می‌کند و مقدار بار اکسیژن را  $0.466 \text{ eV}$  افزایش می‌دهد. در حالت آلایش با  $H_0$ ، هیدروژن  $0.468 \text{ eV}$  الکترون دارد. بهترین تفسیر این است که یون  $H^-$  در تهی جای اکسیژن  $V_O^{+2}$  قرار گرفته است. آنالیز بیدر نشان می‌دهد در حالت ترکیب  $H_0+H_i$  هر دو  $H_0$  و  $H_i$  به ترتیب  $0.735 \text{ eV}$  و  $0.245 \text{ eV}$  الکترون دارند. می‌توان گفت این ترکیب تقریباً خشی است و یک مولکول گیر افتاده در تهی جای اکسیژن  $V_O^{+2}$  است. بنابراین به نظر می‌رسد ترکیب  $H_0+H_i$  مدل مناسبی برای مولکول  $H_2$  در دماهای بالا باشد. همچنین محاسبات ما نشان داد افزایش غلط است، تاثیر خاصی بر چگالی الکترونی و بار موثر ندارد.

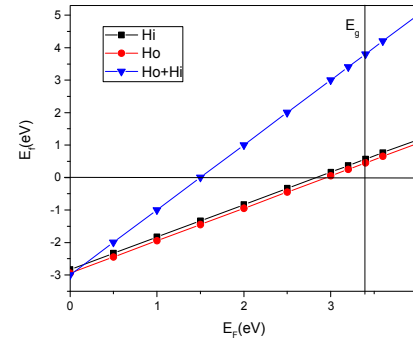
### محاسبات الکترونی

برای بررسی اثر هیدروژن در حالت‌های مختلف روی خواص نوری و الکترونی، محاسبات نوار انرژی (شکل ۳) و چگالی حالات الکترونی انجام شد که حالت‌های چگالی الکترونی در توافق کامل با ساختار نواری است. در اکسیدروی خالص شکاف نواری مستقیم  $3.153 \text{ eV}$  در نقطه تقارنی  $\Gamma$  مشاهده می‌شود که این مقدار در توافق خوبی با مقدار تجربی ( $3.37 \text{ eV}$ ) و مقدارهای محاسبه شده دیگران با تصحیحات هبارد، [۱۵] و  $3.36 \text{ eV}$  [۱۶] است. به کارگیری تصحیح هبارد می‌تواند مقدار شکاف نواری اکسیدروی خالص که قبلاً [۱۰] به دلیل انتخاب تقریب GGA برای انرژی تبادلی-همبستگی،  $0.671 \text{ eV}$  محاسبه شده، را به مقدار زیادی بهبود بخشد.

همانطور که از شکل ۳ دیده می‌شود با آلایش هیدروژن در هر سه حالت هیچ نوارمیانی در وسط شکاف انرژی دیده نمی‌شود و تنها مقدار شکاف به دلیل اثر BMS<sup>۱</sup> افزایش می‌یابد. این نتایج در توافق با گزارش‌های تجربی است [۳ و ۴]. با آلایش  $H_i$ ، شکاف نواری مقدار بسیار ناچیز و با آلایش ترکیب  $H_0+H_i$  این مقدار،  $0.052 \text{ eV}$  افزایش می‌یابد این در حالی است که این افزایش در

موازی با محور  $C$  و هیدروژن جایگاهی در تهی جای اکسیژن، هردو حالت با بار  $+1$  قرار داده شدند و در حالت  $H_i$ ،  $H_0+H_i$  اتم  $H_i$  در جایگاه غیراتصالی به فاصله  $0.86 \text{ \AA}$  از  $H_0$  در توافق با نتایج دیگران [۹] جای داده شد.

شکل ۱ ساختار اتمی این آلایش‌ها را در ابرسلول ۳۲ اتمی بعد از واهش نشان می‌دهد. در حالت  $H_i$  اتم هیدروژن به اتم اکسیژن متصل شده در فاصله  $0.96 \text{ \AA}$  از آن قرار می‌گیرد در حالی که اتم روی از اتم هیدروژن فاصله گرفته و به همسایه‌های خود نزدیک می‌شود که در تطبیق با گزارش دیگران است [۵]. وقتی هیدروژن در جایگاه تهی جای اکسیژن قرار می‌گیرد فاصله آن با اتم‌های روی مجاور، تنها مقدار کمی تغییر می‌کند و تقارن تقریباً حفظ می‌شود. در آلایش با ترکیب  $H_0+H_i$  بعد از واهش اتم  $H_i$  به اتم  $H_0$  نزدیک شده و فاصله  $H_i-H_0$  به مقدار  $0.764 \text{ \AA}$  می‌رسد. این در حالی است که فاصله  $H-H$  در مولکول هیدروژن  $0.740 \text{ \AA}$  است و این مقدار نزدیک به گزارش دیگران است [۸].



شکل ۲: انرژی تشکیل حالت‌های مختلف آلایش در  $ZnO$  بر حسب انرژی فرمی.

انرژی تشکیل هر سه حالت محاسبه شده و بر حسب تابعی از انرژی فرمی در شکل ۲ نشان داده شده است. همان طور که مشاهده می‌شود آلایش با  $H_0$  پایدارترین حالت را دارد. البته انرژی آن مقدار کمی ( $0.1 \text{ eV}$ ) از  $H_i$  کمتر است که میتواند هر دو حالت در تعادل باشند [۶ و ۹]. ترکیب  $H_0+H_i$  در مقادیر بالاتر انرژی فرمی و نزدیک نوار رسانش، انرژی تشکیل بالاتری نسبت به  $H_i$  و  $H_0$  دارد پس در دماهای بالاتر تشکیل می‌شود که این نتیجه در توافق با نتایج تجربی است [۸]. بار موثر هیدروژن در حالت‌های مختلف آلایش به کمک آنالیز بیدر [۱۶] محاسبه شد. طبق بررسی‌های انجام

دلیل ازبین رفتن  $H_i$  می‌دانند [۲]. بنابراین می‌توان نتیجه گرفت  $H_0$  منبع اصلی رسانندگی نوع  $n$  بوده و  $H_i$  نقش بر جسته‌ای در رسانندگی ندارد.

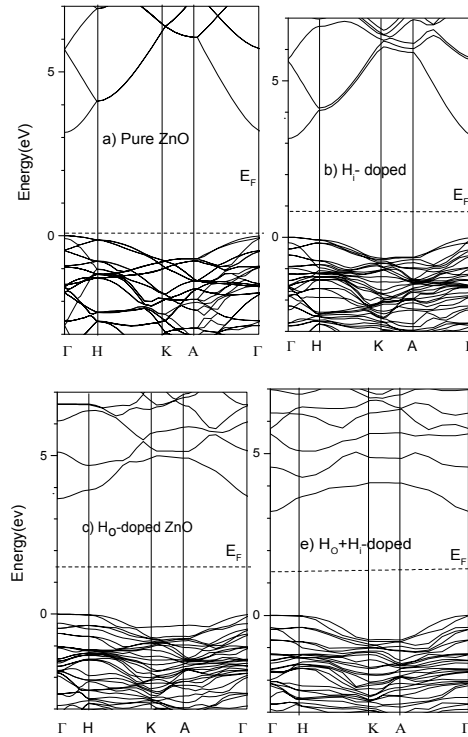
### نتیجه گیری

محاسبات GGA+U برای بررسی اثر حالت‌های مختلف  $H_i$ ,  $H_0+H_i$  در اکسیدروی بر خواص ساختاری و الکترونی در غلظت‌های مختلف  $0.020$ ,  $0.025$  و  $0.025$  nH/nZn انجام شد. محاسبات اثربخش تشكیل نشان داد حالت  $H_0$  بیشترین پایداری را دارد و ترکیب  $H_0+H_i$  در توافق با نتایج تجربی در دماهای بالاتر تشكیل می‌شود. آنالیز بیدر نشان داد اتم  $H_i$  الکترون خود را به اکسیژن داده و با آن پیوند برقرار می‌کند و در حالت آلایش با  $H_0$  یون  $H^+$  در تهی جای اکسیژن  $V_O^{+2}$  قرار می‌گیرد. حالت ترکیب  $H_0+H_i$  تقریباً خشی است و یک مولکول  $H_2$  گیر افتاده در تهی جای اکسیژن  $V_O^{+2}$  است. بنابراین ترکیب  $H_0+H_i$  به نظر می‌رسد مدل مناسبی برای مولکول  $H_2$  در دماهای بالا باشد. اگر پیش‌بینی ما محقق شود و افزایش دما موجب کاهش گاف نواری در دماهای بالا شود می‌توان نتیجه گرفت  $H_0$  عامل رسانندگی است و  $H_i$  نقش چندانی در رسانندگی ندارد. همچنین رشد نمونه‌های آلایده با هیدروژن در اتمسفر بدون اکسیژن نمونه‌های بهتری برای بکارگیری در رساناهای شفاف اکسیدی TCO نتیجه خواهد داد.

### مراجع

- [۱] F. Bustanafruz et. al., *Opt Quant Electron* **48** (2016) 297.
- [۲] P. F. Cia et. al., *J. Applied Physics* **105** (2009) 083713.
- [۳] L.Y. Chen et. al., *Applied Physics Letters*. **85**, No. 23 (2004).
- [۴] A. Kronenberger et. al., *Physical Review B*. **86** (2012) 115334.
- [۵] C. G. Van de Walle, *Physical Review Letters*. **85**, No. 5 (2000) 1012.
- [۶] A. Janotti, and C.G. Van de Walle, *Nature Letter*. **6** (2007) 45.
- [۷] E. V. Lavrov, *Physical Review B*. **79** (2009) 165210.
- [۸] C. G. Koch et. al., *Physical Review B* **89** (2014) 235203.
- [۹] R. Vidya et. al., preprint <http://arxiv.org/abs/1309.5217> (2013).
- [۱۰] بستان افروز، فهیمه و دیگران. دوازدهمین کنفرانس ماده چگال، دانشگاه صنعتی اصفهان، بهمن ۹۳.
- [۱۱] P. Giannozzi et. al., *J. Phys.: Condense. Matter*. **21** (2009) 395502.
- [۱۲] D. S. Sholl, *Density Functional Theory*, A John Wiley & Sons, INC, 2009.
- [۱۳] J. P. Perdew, et. al. *Phys. Rev. Lett.* **77** (1996) 3865.
- [۱۴] P. M. Sanchez, et.al. *Phys. Rev. Lett.* **100** (2008) 146401.
- [۱۵] H. C. Wu et. al., *J. Materials*. **5** (2012) 2088.
- [۱۶] R. F. W. Bader, Oxford University Press, New York, 1994.
- [۱۷] Q. Wang et. al., *Optics Communications*. **297** (2013) 79.

آلایش با  $H_0$  مقدار  $0.0485\text{eV}$  را دارد. با افزایش غلظت، شبیه افزایش شکاف در  $H_i$  و  $H_0+H_i$  بسیار کم ولی در آلایش با  $H_0$  زیاد است بنابراین آلایش با  $H_0$  بیشترین تاثیر را در افزایش شکاف نواری خواهد داشت.



شکل ۳: ساختار نواری اکسیدروی خالص و حالات مختلف آلایش در آن.

محققان تجربی گزارش کردند که افزودن اکسیژن به مخلوط آرگون/هیدروژن در فرآیند رشد لایه‌های نازک ZnO آلایده با هیدروژن، رسانندگی را کاهش داده و گاف نواری نسبت به حالت بدون اکسیژن کمتر افزایش می‌یابد [۴]. بنابراین در شرایط کمبود اکسیژن که  $H_0$  پایدارتر از  $H_i$  است، افزایش بیشتری در رسانندگی و شکاف نواری دیده می‌شود. در نتیجه رشد نمونه‌های آلایده با هیدروژن در اتمسفر بدون اکسیژن، به تهیه نمونه‌های بهتری برای کاربرد در اکسیدهای هادی شفاف منجر خواهد شد.

با توجه به اینکه  $H_0+H_i$  در دماهای بالا اتفاق می‌افتد و منجر به تشکیل مولکول  $H_2$  می‌شود که از نظر الکتریکی غیر فعال است، بنابراین افزایش دما منجر به تولید  $H_0+H_i$  و در نتیجه کاهش رسانندگی و شکاف نواری می‌شود. به نظر می‌رسد این توجیه بهتر از بیان دیگران است که کاهش رسانندگی در اثر افزایش دما را به